

| Cours d'eau | Nœuds Hyd. | Exutoire | Q100 FBG (m³/s) | Q2002 - ISL (m³/s) | Q2002 - SIEE (m³/s) | Qref (m³/s) | Choix du débit de référence |
|-------------------|------------|--|-----------------|--------------------|---------------------|-------------|---|
| Rau des Lumières | Lu1 | Mas Pradelin (milieu BV) | 52 | Néant | Néant (pas de PHE) | 52 | Q100 FBG car pas de PHE ni d'estimations ISL |
| Rau des Lumières | Lu2 | Au bas du Simonet | 72 | | | 72 | |
| Rau des Lumières | Lu3 | Station de la Haute Levade | 74 | | | 74 | |
| Rau de la Trouche | Tr1 | A l'amont de la première confluence (Champclauson) | 38 | Néant | Néant (pas de PHE) | 38 | Q100 FBG car pas de PHE ni d'estimations ISL |
| Rau de la Trouche | Tr2 | A l'amont de la première confluence (Camp Peno) | 13 | | | 13 | |
| Rau de la Trouche | Tr3 | Dans village à l'aval de la confluence | 54 | | | 54 | |
| Rau de la Trouche | Tr4 | Aval du village | 66 | | | 66 | |
| Rau de la Trouche | Tr5 | aval immédiat de la 2ème confluence | 105 | | | 105 | |
| Rau de la Trouche | Tr6 | Ancien puits de la Fontaine | 111 | | | 111 | |
| Rau de la Trouche | Tr7 | Pont voie SNCF - quartier la Levade | 117 | | | 117 | |
| Rau Nayzadou | N1 | Au droit du Lauzas (amont Pénarède) | 18 | Néant | Néant (pas de PHE) | 18 | Q100 FBG car pas de PHE ni d'estimations ISL |
| Rau Nayzadou | N2 | Quartier de la Pénarède | 26 | | | 26 | |
| Rau Nayzadou | N3 | Confluence avec le Brémo | 35 | | | 35 | |
| Rau le Brémo | Br1 | Aval de la première confluence, en amont du Mas de Léon | 91 | Néant | Néant (pas de PHE) | 91 | Q100 FBG car pas de PHE ni d'estimations ISL |
| Rau le Brémo | Br2 | Amont immédiat de confluence avec Nayzadou | 121 | | | 121 | |
| Rau le Brémo | Br3 | Amont des Planquettes | 156 | | | 156 | |
| Rau le Brémo | Br4 | Limites communales - Confluence avec le Gardon | 156 | | | 156 | |
| Sans nom | SN0 | amont branche de la Forêt | 48 | Néant | Néant (pas de PHE) | 48 | Q100 FBG car pas de PHE ni d'estimations ISL |
| Sans nom | SN1 | Amont du busage au niveau de la Caserne | 49 | | | 49 | |
| Sans nom | SN2 | Amont du busage au niveau du Camp Fournier | 54 | | | 54 | |
| Sans nom | SN3 | Aval du busage - au droit du terrain de sport | 115 | | | 115 - 55 | |
| Sans nom | SN4 | passerelle des Tuillères - lieu dit "la Pise" | 130 | | | 130 - 70 | |
| Gravelongue | Gr0 | Amont affluent nord (passage route) | 23 | Néant (pas de PHE) | Néant (pas de PHE) | 23 | Q100 FBG car pas de PHE. L'estimation ISL est inférieure à FBG (tout en étant très proche). |
| Gravelongue | Gr6 | affluent nord (pr952) | 31 | | | 31 | |
| Gravelongue | Gr7 | (Affluent nord) confluence avec valat de Gravelongue | 32 | | | 32 | |
| Gravelongue | Gr1 | Amont du temple sur Gravelongue amont | 80 | | | 80 | |
| Gravelongue | Gr2 | Confluence Gravelongue amont | 81 | | | 81 | |
| Gravelongue | Gr4 | (Gd Valat) Au niveau du quartier La Favède | 42 | | | 42 | |
| Gravelongue | Gr3 | (Valorie) amont de La Favède | 47 | | | 47 | |
| Gravelongue | Gr5 | Amont de la confluence avec affluent Nord | 157 | | | 157 | |
| Gravelongue | Gr8 | Aval de toutes confluences (au niveau du hameau "Gravelongue") | 181 | | | 181 | |
| Gravelongue | Gr9 | Amont secteur encaissé | 195 | | | 195 | |
| Gravelongue | VG1 | Nœud ISL | 143 | | | 130 | |
| Gravelongue | Gr10 | Amont quartier des Baumes | 208 | 208 | | | |
| Gravelongue | Gr11 | Amont immédiat du gué - cité Gravelongue | 198 | 198 | | | |
| Rau de Bellière | B0 | Amont route avant galerie souterraine | 29 | Néant | Néant (pas de PHE) | 29 | Q100 FBG car pas de PHE ni d'estimations ISL |
| Rau de Bellière | B1 | Ancien puits en amont de la confluence (ruisseau venant de Laval) | 33 | | | 33 | |
| Rau de Bellière | B2 | Amont de la confluence (Bellière amont et Bellière molinotte) | 48 | | | 48 | |
| Rau de Bellière | B3 | aval des confluences (milieu BV) | 82 | | | 82 | |
| Rau de Bellière | B4 | En amont du Mazel | 90 | | | 90 | |
| Rau de Bellière | B5 | Pont de la voie SNCF - lieu dit "le Mazel" | 90 | | | 90 | |
| Rau Poujoulas | P1 | Intermédiaire BV | 34 | Néant | Néant (pas de PHE) | 34 | Q100 FBG car pas de PHE ni d'estimations ISL |
| Rau Poujoulas | P2 | Au bas de Malbosc | 39 | | | 39 | |
| Rau Poujoulas | P3 | Amont du pont SNCF (200m en amont de la confluence avec le Gardon) | 41 | | | 41 | |
| Fréguérolle | F1 | Amont de la N106 | 29 | Néant | Néant (pas de PHE) | 29 | Q100 FBG car pas de PHE ni d'estimations ISL |
| Fréguérolle | F2 | lieu dit "Rouvelong" | 30 | | | 30 | |
| Fréguérolle | F3 | amont confluence | 31 | | | 31 | |

| Cours d'eau | Nœuds Hyd. | Exutoire | Q100 FBG (m³/s) | Q2002 - ISL (m³/s) | Q2002 - SIEE (m³/s) | Qref (m³/s) | Choix du débit de référence | |
|-------------------|------------|--|-----------------|--------------------|--|--------------------|---|--|
| Pourcayrargues | Pou1 | Confluence avec le Gardon | 52 | Néant | Néant (pas de PHE) | 52 | Q100 FBG car pas de PHE ni d'estimations ISL | |
| sauvage | sauvage | Confluence avec le Gardon | 39 | Néant | Néant (pas de PHE) | 39 | | |
| Rau de Drulhes | Dru0 | Amont 1er enjeu (niveau route) | 9 | Néant | Néant (pas de PHE) | 9 | Q100 FBG car pas de PHE ni d'estimations ISL | |
| Rau de Drulhes | Dru1 | Aval immédiat des habitations | 10 | | | 10 | | |
| Rau de Drulhes | Dru2 | Confluence avec le Gardon | 39 | | | 39 | | |
| Gardon d'Alès | GS2 | Nœud ISL | 890 | 183 | Néant (pas de PHE) | | La méthode FBG est écartée puisqu'elle ne prend pas en compte l'effet du barrage de Sainte-Cécile-d'Andorge. Les résultats de ISL, pour lesquels le débit centennal est supérieur à celui de 2002, sont retenus. Les valeurs aux nœuds hydrologiques du PPRi sont interpolées à partir de celles d'ISL. | |
| Gardon d'Alès | GAR 1 | Barrage de Cambous | 1 119 | | Néant (pas de PHE) | 893 | | |
| Gardon d'Alès | GAR 2 | Station de pompage de la Haute Levade | 1 153 | | Néant (pas de PHE) | 897 | | |
| Gardon d'Alès | GAR 3 | Aval immédiat de la confluence avec La Trouche | 1 191 | | Néant (pas de PHE) | 901 | | |
| Gardon d'Alès | GAR 4 | Hameau de Trescol | 1 195 | | Néant (pas de PHE) | 902 | | |
| Gardon d'Alès | GAR 5 | Aval immédiat confluence Brémo - l'Impostaire | 1 244 | | Néant (pas de PHE) | 907 | | |
| Gardon d'Alès | GAR 6 | Aval immédiat de la passerelle des Tuillères - aval confluence Sans-Nom | 1 289 | | Néant (pas de PHE) | 913 | | |
| Gardon d'Alès | GS3 | Nœud ISL | 914 | 544 | | | | |
| Gardon d'Alès | GAR 7 | Aval immédiat confluence Gravelongue - cité Gravelongue | 1 346 | | Néant (pas de PHE) | 916 | | |
| Gardon d'Alès | GAR 8 | Amont immédiat de la confluence du Lascous - lieu dit "les Oules" | 1 358 | | Néant (pas de PHE) | 917 | | |
| Gardon d'Alès | GAR 9 | Amont immédiat de la confluence du Bellière - quartier l'Habitarelle | 1 392 | | Néant (pas de PHE) | 919 | | |
| Gardon d'Alès | GAR 10 | Amont immédiat confluence du Fréguéirolle - lieu dit "Rouvelong" | 1 440 | | Néant (pas de PHE) | 921 | | |
| Gardon d'Alès | GAR 11 | Amont confluence Pourcayrargues - passerelle du quartier "la Tour" | 1 460 | | Néant (pas de PHE) | 922 | | |
| Gardon d'Alès | GS4 | Nœud ISL | 921 | 690 | | | La courbe de débits spécifiques pour 2002 obtenue sur l'aval du Gardon est extrapolée de manière à évaluer les débits 2002 (équivalents aux débits centennaux FBG) sur la traversée d'Alès. | |
| Gardon d'Alès | GAR 12 | Station de pompage de l'Abbaye | 1 492 | | Néant (pas de PHE) | 953 | | |
| Gardon d'Alès | GS5 | Nœud ISL - aval confluence Galeizon | 1 404 | 1814 | | | | |
| Gardon d'Alès | GAR 13 | Aval confluence Galeizon - station d'épuration la Blaquière | 1 996 | | Néant (pas de PHE) | 1 996 | | |
| Gardon d'Alès | GAR 14 | Amont immédiat confluence du Grabieux - quartier le Moulinet | 2 025 | | Néant (pas de PHE) | 2 025 | | |
| Gardon d'Alès | GS6 | Nœud ISL | 1 585 | 2489 | | | | |
| Gardon d'Alès | GAR 15 | Amont immédiat confluence Prés Rasclaux - aval immédiat pont de Rochebelle | 2 226 | | Néant (pas de PHE) | 2 226 | | |
| Gardon d'Alès | GAR 16 | Quartier le Serre-Blanc, au droit de la Stèle | 2 275 | | Néant (pas de PHE) | 2 275 | | |
| Gardon d'Alès | GS7 | Nœud ISL | 1 739 | 2617 | | | | |
| Gardon d'Alès | GAR 17 | Aval immédiat de la confluence de l'Alzon, quartier la Légue | 2 440 | | Néant (pas de PHE) | 2 440 | | |
| Gardon d'Alès | GS8 | Nœud ISL | 2 006 | 3094 | PHE à l'aval de la rocade, jusqu'à la confluence avec le Gardon d'Anduze - Q2002 et QFBG du même ordre de grandeur | | | Les estimations du débit 2002 réalisées d'après le calage du modèle SIEE sur les PHE sont équivalentes aux résultats fournis par la méthode FBG, qui est donc retenue. Par contre, l'occurrence est supérieure à la centennale, étant donné la présence du barrage de St-Cécile d'Andorge à l'amont. |
| Gardon d'Alès | GS9 | Nœud ISL | 2 089 | 3305 | | | | |
| Gardon d'Alès | GAR 18 | Aval immédiat de la confluence de l'Avène, lieu dit "la Bugueirine" | 2 747 | | | Néant (pas de PHE) | 2 747 | |
| Gardon d'Alès | GAR 19 | Aval immédiat confluence Rau de Coste | 2 761 | | | Néant (pas de PHE) | 2 761 | |
| Gardon d'Alès | GS10 | Nœud ISL | 2 200 | 3386 | | | | |
| Gardon d'Alès | GAR 20 | Aval immédiat confluence Carriol, au droit du Mas du Château et de la voie ferrée SNCF | 2 900 | | | Néant (pas de PHE) | 2 900 | |
| Gardon d'Alès | GAR 21 | confluence Gardon d'Anduze | 2 908 | | Néant (pas de PHE) | 2 908 | | |
| Grave de Rieusset | R1 | Amont immédiat 1ère confluence | 25 | | Néant (pas de PHE) | 15 | Pas de PHE ni d'estimations ISL. Au regard de la présence de failles et des observations de la crue de 2002, le débit centennal retenu est calculé comme suit : Qref = Q100FBG*0.6 | |
| Grave de Rieusset | R2 | Aval immédiat de la confluence avec le valat de la Planquette | 71 | | | 43 | | |
| Grave de Rieusset | R3 | Amont confluence au niveau du Roucan | 74 | | | 44 | | |
| Grave de Rieusset | R4 | Aval d'une confluence au niveau du Roucan | 92 | | | 55 | | |
| Grave de Rieusset | R5 | Au bas du Malissard | 99 | | | 59 | | |
| Grave de Rieusset | R6 | Aval immédiat de la confluence avec le valat de Pinas | 113 | | | 68 | | |
| Grave de Rieusset | RT1 | Nœud ISL | 88 | 83 | | | | |
| Grave de Rieusset | R7 | aval de l'ancienne Mine (amont des enjeux) | 127 | | Néant (pas de PHE) | 76 | | |
| Grave de Rieusset | R8 | amont immédiat de la confluence avec le Galeizon | 135 | | Néant (pas de PHE) | 81 | | |
| Galeizon | G1 | Pont des Ombres | 232 | | | 232 | | |

| Cours d'eau | Nœuds Hyd. | Exutoire | Q100 FBG (m³/s) | Q2002 - ISL (m³/s) | Q2002 - SIEE (m³/s) | Qref (m³/s) | Choix du débit de référence |
|-----------------------------------|------------|--|-----------------|--------------------|---|-------------|--|
| Galeizon | G2 | Limite départementale (au niveau de Lamelouze) | 339 | | Néant (pas de PHE) | 339 | Sur l'amont, la méthode FBG est retenue puisqu'il n'y a pas de PHE et que les estimations ISL sont surévaluées. A l'aval, les estimations du débit 2002 d'après le calage du modèle SIEE sur les PHE donnent des valeurs supérieures à celles obtenues par la méthode FBG. Entre l'amont et l'aval, une zone de transition entre FBG et Q2002 est créée dans un souci de cohérence des débits. |
| Galeizon | G3 | Limite communes Soustelle et Lamelouze | 427 | | | 427 | |
| Galeizon | G4 | Galeizon -Amont confluence avec Salandre - Camp Neuf | 463 | | | 463 | |
| Galeizon | GN1 | Nœud ISL | 466 | 587 | | | |
| Galeizon | G5 | Aval confluence Salandre | 646 | | Néant (pas de PHE) | 646 | |
| Galeizon | G6 | Amont du hameau "Le Martinet" | 663 | | | 663 | |
| Galeizon | GN2 | Nœud ISL | 595 | 915 | | | |
| Galeizon | G7 | Amont du hameau "Robinson" | 700 | | Néant (pas de PHE) | 710 | |
| Galeizon | GN3 | Nœud ISL | 635 | 971 | | | |
| Galeizon | G8 | Amont de Deleuze | 710 | | Néant (pas de PHE) | 720 | |
| Galeizon | G9 | Au niveau du Hameau La Remise | 719 | | | 750 | |
| Galeizon | G10 | Aval immédiat de la confluence du Valat de Baloussière | 747 | | | 800 | |
| Galeizon | GN4 | Nœud ISL | 685 | 1010 | | | |
| Galeizon | G11 | aval confluence Valmale, Rieusset | 811 | | PHE gam93 | 960 | |
| Galeizon | GN5 | Nœud ISL | 727 | 1054 | | | |
| Galeizon | G12 | Pont D 916 - camping Clos de l'Abbaye | 847 | | PHE gam 92 | 960 | |
| Salandre | S1 | aval 1ère confluence | 224 | Néant | Néant (pas de PHE) | 224 | Q100 FBG car pas de PHE ni d'estimations ISL. |
| Salandre | S2 | amont confluence Mandajots | 220 | | | 220 | |
| Salandre | S3 | En amont de la Martinolle | 292 | | | 292 | |
| Salandre | S4 | amont confluence Galeizon | 295 | | | 295 | |
| Ruisseau de Courbessas | Cou1 | Hameau de Courbessas | 10 | Néant | Néant - pas de PHE | 10 | Q100 FBG car pas de PHE ni d'estimations ISL. Pas d'extrapolation des débits spécifiques du Galeizon car les données sont insuffisantes. |
| Ruisseau de Courbessas | Cou2 | confluence avec le Galeizon | 18 | | | 18 | |
| Ruisseau de Goujouse | Gou1 | Amont du camping | 52 | Néant | Néant - pas de PHE | 52 | Q100 FBG car pas de PHE ni d'estimations ISL. Pas d'extrapolation des débits spécifiques du Galeizon car les données sont insuffisantes. |
| Ruisseau de Goujouse | Gou2 | confluence avec le Galeizon | 51 | | | 51 | |
| Ruisseau du Bosquet | Bos1 | Amont D32 | 19 | Néant | Néant - pas de PHE | 19 | Q100 FBG car pas de PHE ni d'estimations ISL. Pas d'extrapolation des débits spécifiques du Galeizon car les données sont insuffisantes. |
| Pres Rasclaux | PR1 | Amont du premier profil | 50 | Néant | Néant - pas de PHE | 50 | Q100 FBG car pas de PHE ni d'estimations ISL. |
| Pres Rasclaux | PR2 | Amont de St Raby | 74 | | | 74 | |
| Pres Rasclaux | PR3 | Amont de la RD50 au droit du pont Gisquet | 76 | | | 76 | |
| Pres Rasclaux | PR4 | environ 500 m en amont de la confluence avec Gardon | 95 | | | 95 | |
| Pres Rasclaux | PR5 | Amont de la confluence Gardon d'Alès | 104 | | | 104 | |
| Grabieux | GR1 | au droit du pont sur la route blanche | 11 | Néant | Néant - pas de PHE | 11 | Sur l'amont, pas de PHE ni d'estimations ISL. Plus à l'aval, les débits ISL semblent largement surévalués (niveaux d'eau calculés avec le modèle SIEE supérieurs aux NPHE). Les estimations du débit 2002 réalisées d'après le calage du modèle SIEE sur les PHE sont équivalentes aux résultats fournis par la méthode FBG, qui est donc retenue. |
| Grabieux | GR2 | | 16 | | | 16 | |
| Grabieux | GR3 | amont confluence (croisement D904 et D316a) | 21 | | | 21 | |
| Grabieux | GR4 | aval confluences ruisseaux RD et TG | 96 | | | 96 | |
| Grabieux | GR5 | aval confluence ruisseau rouge | 126 | | | 126 | |
| Grabieux | GR6 | | 128 | | | 128 | |
| Grabieux | GR7 | amont confluence avec Gravelongue | 132 | | Néant - pas de PHE | 132 | |
| Grabieux | GR8 | aval confluence Gravelongue | 316 | | | 316 | |
| Nœud ISL - GR8 | GX2 | | 183 | 350 | | | |
| Grabieux | GR9 | | 318 | | | 318 | |
| Grabieux | GR10 | Amont confluence ruisseau blanc | 319 | | | 318 | |
| Nœud ISL - | GX3 | | 253 | 470 | | | |
| Grabieux | GR11 | Aval confluence ruisseau Blanc | 311 | | PHE gam86 à gam127 sur le secteur - Q2002 et QFBG du même ordre de grandeur | 311 | |
| Grabieux | GR12 | Au niveau du Carrefour du Moulin | 320 | | | 320 | |
| Grabieux | GR13 | En amont de la traversée de la RD 904 | 330 | | | 330 | |
| Grabieux | GR14 | Amont confluence Bruèges | 336 | | | 336 | |
| Nœud ISL - GR15 | GX4 | | 420 | 669 | | | |
| Grabieux | GR15 | Aval confluence avec Bruèges | 412 | | | 412 | |
| Grabieux | GR16 | Confluence Gardon | 420 | | | 420 | |
| Affluent 1 Grabieux - branche 1.2 | GRA1.2_1 | amont du premier profil | 50 | | Néant - pas de PHE | 50 | Q100 FBG car pas de PHE ni d'estimations ISL. A noter que sur le secteur (BV Bruèges-Grabieux), les débits spécifiques de 2002 estimés |

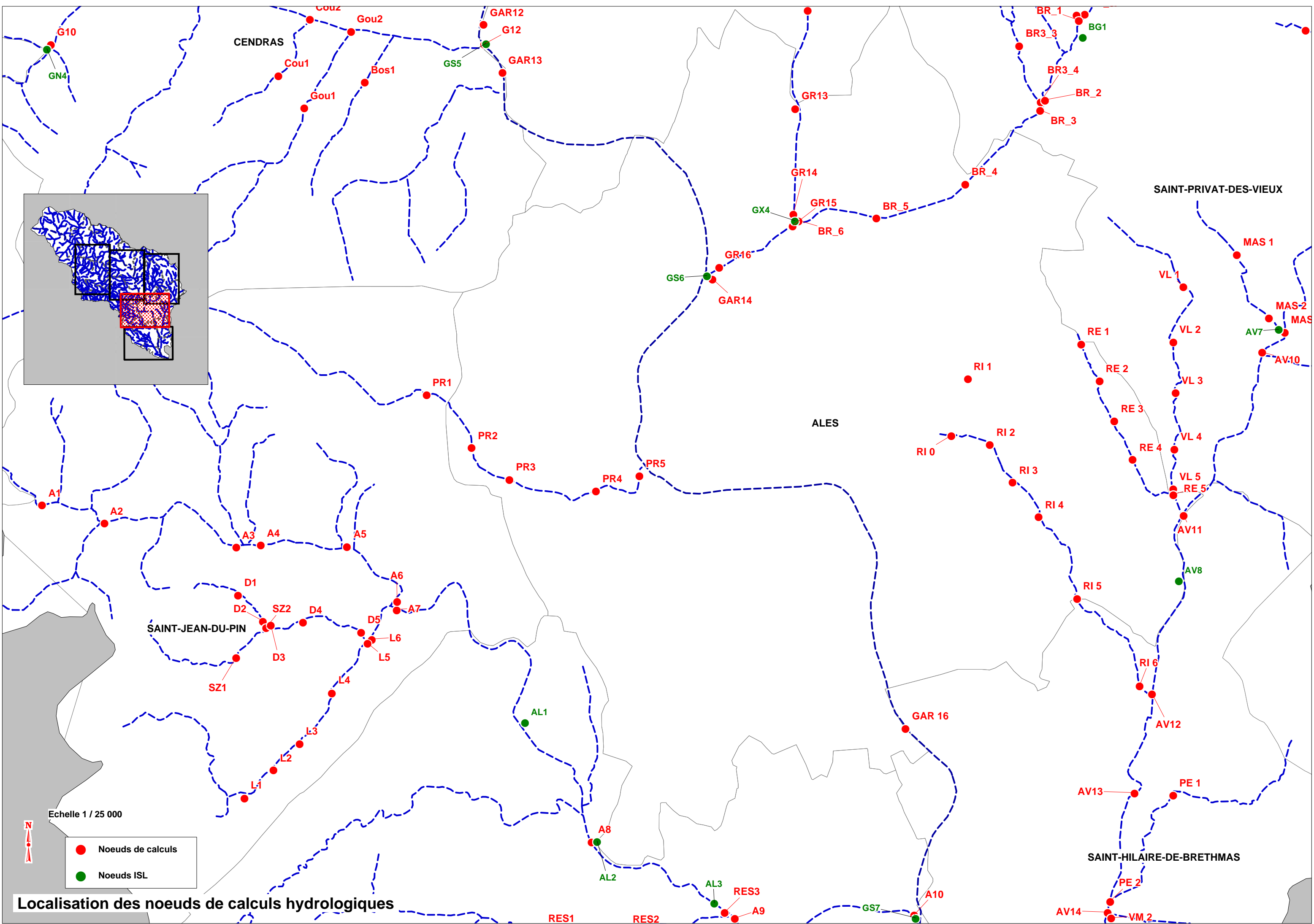
| Cours d'eau | Nœuds Hyd. | Exutoire | Q100 FBG (m³/s) | Q2002 - ISL (m³/s) | Q2002 - SIEE (m³/s) | Qref (m³/s) | Choix du débit de référence |
|--|------------|---|-----------------|--------------------|---------------------|-------------|--|
| Affluent 1 Grabieux - branche 1.3 | GRA1.2_2 | amont confluence Sauze | 56 | | Néant - Pas de PHE | 56 | par modélisation sur les secteurs où il existe des NPHE sont toutefois équivalents à ceux obtenus par la méthode FBG. |
| Affluent 1 Grabieux - branche 1.1 (Sauze) | GRA1.1_1 | amont passage RD 904 | 22 | | Néant - Pas de PHE | 22 | Q100 FBG car pas de PHE ni d'estimations ISL. A noter que sur le secteur (BV Bruèges-Grabieux), les débits spécifiques de 2002 estimés par modélisation sur les secteurs où il existe des NPHE sont toutefois équivalents à ceux obtenus par la méthode FBG. |
| Affluent 1 Grabieux - branche 1.1 (Sauze) | GRA1.1_2 | amont confluence Grabieux | 37 | | | 37 | |
| Affluent 1 Grabieux | GRA1_1 | aval confluence branches amont | 52 | | Néant - Pas de PHE | 52 | Q100 FBG car pas de PHE ni d'estimations ISL. A noter que sur le secteur (BV Bruèges-Grabieux), les débits spécifiques de 2002 estimés par modélisation sur les secteurs où il existe des NPHE sont toutefois équivalents à ceux obtenus par la méthode FBG. |
| Affluent 1 Grabieux | GRA1_2 | au droit de la route D416 | 87 | | | 87 | |
| Affluent 1 Grabieux | GRA1_3 | au droit du passage de la route de l'Arc de Vérau | 88 | | | 88 | |
| Affluent 1 Grabieux | GRA1_4 | Amont de la confluence avec ruisseau rouge | 88 | | | 88 | |
| branche 2 amont Lauze | GRA2.2_1 | Amont confluence Grabieux | 15 | | Néant - Pas de PHE | 15 | Q100 FBG car pas de PHE ni d'estimations ISL. A noter que sur le secteur (BV Bruèges-Grabieux), les débits spécifiques de 2002 estimés par modélisation sur les secteurs où il existe des NPHE sont toutefois équivalents à ceux obtenus par la méthode FBG. |
| branche 2 amont Lauze | GRA2.2_2 | Amont confluence affluent 1 | 20 | | | 20 | |
| branche 1 amont Lauze | GRA2.1_1 | | 9 | | Néant - Pas de PHE | 9 | Q100 FBG car pas de PHE ni d'estimations ISL. A noter que sur le secteur (BV Bruèges-Grabieux), les débits spécifiques de 2002 estimés par modélisation sur les secteurs où il existe des NPHE sont toutefois équivalents à ceux obtenus par la méthode FBG. |
| branche 1 amont Lauze | GRA2.1_2 | Amont confluence Lauze | 13 | | | 13 | |
| Affluent 2 Grabieux (Lauze) | GRA2_1 | aval confluences branches amont | 31 | | Néant - Pas de PHE | 31 | Q100 FBG car pas de PHE ni d'estimations ISL. A noter que sur le secteur (BV Bruèges-Grabieux), les débits spécifiques de 2002 estimés par modélisation sur les secteurs où il existe des NPHE sont toutefois équivalents à ceux obtenus par la méthode FBG. |
| Affluent 2 Grabieux (Lauze) | GRA2_2 | Confluence Grabieux | 33 | | | 33 | |
| Affluent 3 Grabieux (Ruisseau Rouge) | GRA3_1 | amont premier profil | 5 | | Néant - Pas de PHE | 5 | Q100 FBG car pas de PHE ni d'estimations ISL. A noter que sur le secteur (BV Bruèges-Grabieux), les débits spécifiques de 2002 estimés par modélisation sur les secteurs où il existe des NPHE sont toutefois équivalents à ceux obtenus par la méthode FBG. |
| Affluent 3 Grabieux (Ruisseau Rouge) | GRA3_2 | amont de la RD 316 | 7 | | | 7 | |
| Affluent 3 Grabieux (Ruisseau Rouge) | GRA3_3 | amont confluence avec Grabieux | 15 | | | 15 | |
| branche amont 1 Gravelongue | GRA4.1_1 | | 9 | | Néant - Pas de PHE | 9 | Q100 FBG car pas de PHE ni d'estimations ISL. A noter que sur le secteur (BV Bruèges-Grabieux), les débits spécifiques de 2002 estimés par modélisation sur les secteurs où il existe des NPHE sont toutefois équivalents à ceux obtenus par la méthode FBG. |
| branche amont 1 Gravelongue | GRA4.1_2 | amont premier profil | 12 | | | 12 | |
| branche amont 1 Gravelongue | GRA4.1_3 | amont confluence G3 | 129 | | | 129 | |
| Nœud ISL | GX1 | ENTRE GRA4.1_3 et GRA4.1_4 | 105 | 188 | | | |
| branche amont 1 Gravelongue | GRA4.1_4 | amont confluence G2 | 173 | | | 173 | |
| branche amont 2 Gravelongue | GRA4.2_1 | Au bas de La Roque | 9 | | Néant - Pas de PHE | 9 | Q100 FBG car pas de PHE ni d'estimations ISL. A noter que sur le secteur (BV Bruèges-Grabieux), les débits spécifiques de 2002 estimés par modélisation sur les secteurs où il existe des NPHE sont toutefois équivalents à ceux obtenus par la méthode FBG. |
| branche amont 2 Gravelongue | GRA4.2_2 | amont D416 | 20 | | | 20 | |
| branche amont 2 Gravelongue | GRA4.2_3 | amont confluence Gravelongue | 32 | | | 32 | |
| branche 3 Gravelongue | GRA4.3_1 | amont premier profil (Le Puech Long) | 8 | | Néant - Pas de PHE | 8 | Q100 FBG car pas de PHE ni d'estimations ISL. A noter que sur le secteur (BV Bruèges-Grabieux), les débits spécifiques de 2002 estimés par modélisation sur les secteurs où il existe des NPHE sont toutefois équivalents à ceux obtenus par la méthode FBG. |
| branche 3 Gravelongue | GRA4.3_2 | amont confluence Gravelongue | 8 | | | 8 | |
| Affluent 4 Grabieux (Grave Longue) | GRA4_1 | aval confluence branches 1 et 2 | 213 | | Néant - Pas de PHE | 213 | Q100 FBG car pas de PHE ni d'estimations ISL. A noter que sur le secteur (BV Bruèges-Grabieux), les débits spécifiques de 2002 estimés par modélisation sur les secteurs où il existe des NPHE sont toutefois équivalents à ceux obtenus par la méthode FBG. |
| Affluent 4 Grabieux (Grave Longue) | GRA4_2 | amont confluence branche 3 | 216 | | | 216 | |
| Affluent 4 Grabieux (Grave Longue) | GRA4_3 | aval confluence branche 3 | 219 | | | 219 | |
| Affluent 4 Grabieux (Grave Longue) | GRA4_4 | amont confluence Grabieux | 221 | | | 221 | |
| branche amont 1 Rau Blanc | GRA5.1_1 | Amont RD 906 | 64 | | Néant - Pas de PHE | 64 | Q100 FBG car pas de PHE ni d'estimations ISL. A noter que sur le secteur (BV Bruèges-Grabieux), les débits spécifiques de 2002 estimés par modélisation sur les secteurs où il existe des NPHE sont toutefois équivalents à ceux obtenus par la méthode FBG. |
| branche amont 1 Rau Blanc | GRA5.1_2 | Amont confluence R' | 64 | | | 64 | |
| branche amont 2 Rau Blanc | GRA5.2_1 | Amont dernier profil | 12 | | Néant - Pas de PHE | 12 | Q100 FBG car pas de PHE ni d'estimations ISL. A noter que sur le secteur (BV Bruèges-Grabieux), les débits spécifiques de 2002 estimés par modélisation sur les secteurs où il existe des NPHE sont toutefois équivalents à ceux obtenus par la méthode FBG. |
| branche amont 2 Rau Blanc | GRA5.2_2 | Amont confluence Rau Blanc | 20 | | | 20 | |
| branche amont 3 Rau Blanc | GRA5.3_1 | Amont de Sauvagnac | 20 | | Néant - Pas de PHE | 20 | Q100 FBG car pas de PHE ni d'estimations ISL. A noter que sur le secteur (BV Bruèges-Grabieux), les débits spécifiques de 2002 estimés par modélisation sur les secteurs où il existe des NPHE sont toutefois équivalents à ceux obtenus par la méthode FBG. |
| branche amont 3 Rau Blanc | GRA5.3_2 | Aval confluence avec branche secondaire | 40 | | | 40 | |
| branche amont 3 Rau Blanc | GRA5.3_3 | Aval de la deuxième confluence | 51 | | | 51 | |
| branche amont 3 Rau Blanc | GRA5.3_4 | Amont confluence avec Rau Bla | 52 | | | 52 | |
| branche secondaire sur branche 3 rau Blanc | GRA5.3.1_1 | Amont de Sauvagnac | 16 | | Néant - Pas de PHE | 16 | Q100 FBG car pas de PHE ni d'estimations ISL. A noter que sur le secteur (BV Bruèges-Grabieux), les débits spécifiques de 2002 estimés par modélisation sur les secteurs où il existe des NPHE sont toutefois équivalents à ceux obtenus par la méthode FBG. |
| Affluent 5 Grabieux (Rau Blanc) | GRA5_1 | aval confluences branches 1 et 2 | 79 | | | 79 | |
| Affluent 5 Grabieux (Rau Blanc) | GRA5_2 | Amont confluence R | 83 | | | 83 | |
| Affluent 5 Grabieux (Rau Blanc) | GRA5_3 | Aval confluence branche 3 | 122 | | | 122 | |
| Affluent 5 Grabieux (Rau Blanc) | GRA5_4 | | 127 | | | 127 | |

| Cours d'eau | Nœuds Hyd. | Exutoire | Q100 FBG (m³/s) | Q2002 - ISL (m³/s) | Q2002 - SIEE (m³/s) | Qref (m³/s) | Choix du débit de référence |
|---|------------|--|-----------------|--------------------|--|-------------|--|
| Nœud ISL - Ruisseau blanc entre GRA5_4 et 5_5 | BL1 | | 91 | 167 | Néant - Pas de PHE | | Q100 FBG car pas de PHE et estimations ISL du débit 2002 largement surévaluées. |
| Affluent 5 Grabieux (Rau Blanc) | GRA5_5 | Amont RD 31 | 129 | | | 129 | |
| Affluent 5 Grabieux (Rau Blanc) | GRA5_6 | | 133 | | | 133 | |
| Affluent 5 Grabieux (Rau Blanc) | GRA5_7 | amont confluence Rouvèques | 135 | | | 135 | |
| Affluent 5 Grabieux (Rau Blanc) | GRA5_8 | aval Rouvèque = confluence Grabieux | 169 | | | 169 | |
| Affluent 6 Grabieux (Rouvèques) | GRA6_1 | amont Crématorium | 9 | | Néant - Pas de PHE | 9 | Q100 FBG car pas de PHE ni d'estimations ISL. Sur le secteur (BV Bruèges-Grabieux), les débits spécifiques de 2002 sont toutefois équivalents à ceux obtenus par la méthode FBG. |
| Affluent 6 Grabieux (Rouvèques) | GRA6_2 | Au droit de Sermeil | 18 | | | 18 | |
| Affluent 6 Grabieux (Rouvèques) | GRA6_3 | amont confluence ruisseau | 25 | | | 25 | |
| Affluent 6 Grabieux (Rouvèques) | GRA6_4 | aval confluence ruisseau | 45 | | | 45 | |
| Affluent 6 Grabieux (Rouvèques) | GRA6_5 | franchissement RD906 | 45 | | | 45 | |
| Affluent 6 Grabieux (Rouvèques) | GRA6_6 | amont Conf Ruisseau Blanc | 47 | | | 47 | |
| Bruèges | BR_1 | Aval confluence branches 1 et 2 | 62 | | Néant - pas de PHE | 62 | Les estimations ISL sont largement surévaluées (niveaux d'eau calculés avec le modèle SIEE supérieurs aux NPHE). Sur les secteurs avec PHE, les estimations du débit 2002 d'après le calage du modèle SIEE sur les PHE donnent des résultats équivalents à ceux obtenus par la méthode FBG, qui est donc retenue. |
| Nœud ISL - Bruèges entre BR_1 et BR_2 | BG1 | | 42 | 74 | | | |
| Bruèges | BR_2 | amont confluence branche 3 | 79 | | PHE gam121 à gam125 sur le secteur - Q2002 et QFBG du même ordre de grandeur | 79 | |
| Bruèges | BR_3 | aval confluence branche 3 | 98 | | | 98 | |
| Bruèges | BR_4 | Passage RD 60 | 137 | | | 137 | |
| Bruèges | BR_5 | | 180 | | | 180 | |
| Bruèges | BR_6 | Confluence Grabieux | 186 | | | 186 | |
| Branche amont 1 - Bruèges | BR1_1 | Amont de Mazac | 8 | | Néant - Pas de PHE | 8 | Q100 FBG car pas de PHE ni d'estimations ISL. Sur le secteur (BV Bruèges-Grabieux), les débits spécifiques de 2002 sont toutefois équivalents à ceux obtenus par la méthode FBG. |
| Branche amont 1 - Bruèges | BR1_2 | aval de la RD 16 | 13 | | | 13 | |
| Branche amont 1 - Bruèges | BR1_3 | | 14 | | | 14 | |
| Branche amont 1 - Bruèges | BR1_4 | Amont de la confluence avec branche amont 2 | 51 | | | 51 | |
| Branche amont 2 - Bruèges | BR2_1 | | 5 | | Néant - Pas de PHE | 5 | Q100 FBG car pas de PHE ni d'estimations ISL. Sur le secteur (BV Bruèges-Grabieux), les débits spécifiques de 2002 sont toutefois équivalents à ceux obtenus par la méthode FBG. |
| Branche amont 2 - Bruèges | BR2_2 | aval de la RD16 | 10 | | | 10 | |
| Branche amont 2 - Bruèges | BR2_3 | amont confluence Bruèges | 13 | | | 13 | |
| Branche amont 3 - Bruèges | BR3_1 | | 8 | | Néant - Pas de PHE | 8 | Q100 FBG car pas de PHE ni d'estimations ISL. Sur le secteur (BV Bruèges-Grabieux), les débits spécifiques de 2002 sont toutefois équivalents à ceux obtenus par la méthode FBG. |
| Branche amont 3 - Bruèges | BR3_2 | aval RD 16 | 10 | | | 10 | |
| Branche amont 3 - Bruèges | BR3_3 | Saint Alban | 15 | | | 15 | |
| Branche amont 3 - Bruèges | BR3_4 | amont confluence Bruèges | 22 | | | 22 | |
| Alzon | A1 | Amont dernier profil | 84 | | PHE A2 jusqu'à A10 | 100 | Sur les secteurs avec PHE, les estimations du débit 2002 d'après le calage du modèle SIEE sur les PHE donnent des résultats supérieurs à ceux obtenus par la méthode FBG. 2002 est donc l'évènement de référence. Les PHE sont suffisamment nombreuses pour extrapoler les débits spécifiques et les appliquer sur tout le bassin versant. |
| Alzon | A2 | Confluence droit du Mas de Lay | 134 | | 170 | 170 | |
| Alzon | A3 | Hameau de la Barrière | 131 | | 170 | 187 | |
| Alzon | A4 | Aval Cazevielle | 164 | | 257 | 257 | |
| Alzon | A5 | Tourrade | 171 | | 300 | 294 | |
| Alzon | A6 | Amont lyonnais | 161 | | 300 | 300 | |
| Alzon | A7 | Aval lyonnais | 276 | | | 400 | |
| Alzon | AL1 | Nœud ISL | 196 | 372 | | | |
| Alzon | A8 | Mas d'Ayrolles | 289 | | 500 | 500 | |
| Alzon | AL2 | Nœud ISL - correspond à A8 | 250 | 438 | | | |
| Alzon | AL3 | Nœud ISL - amont A9 (amont confl. Respechas) | 293 | 478 | | | |
| Alzon | A9 | aval confluence Respechas | 339 | | 600 | 600 | |
| Alzon | A10 | amont Confluence | 368 | | 600 | 600 - 700 | |
| Dabias | D1 | Amont des habitations | 9 | | Néant - Pas de PHE | 9 | Sur l'Alzon, dont le Dabias est un affluent, Q2002>Q100. Le débit 2002 sur le Dabias est ainsi estimé d'après l'analyse des débits spécifiques. |
| Dabias | D2 | Amont confluence avec Sauzil | 14 | | | 14 | |
| Dabias | D3 | aval confluence_Dabias_Sauzil | 39 | | | 39 | |
| Dabias | D4 | franchissement RD50 | 40 | | | 40 | |
| Dabias | D5 | Amont de la confluence avec le Lyonnais | 43 | | | 43 | |
| Sauzil | SZ1 | amont du dernier profil | 23 | | Néant - Pas de PHE | 23 | Sur l'Alzon, dont le Sauzil est un affluent, Q2002>Q100. Le débit 2002 sur le Dabias est ainsi estimé d'après l'analyse des débits spécifiques. |
| Sauzil | SZ2 | confluence Dabias | 25 | | | 25 | |
| Le Lyonnais | L1 | Amont du premier profil | 55 | | PHE entre L2 et L5 | 80 | |

| Cours d'eau | Nœuds Hyd. | Exutoire | Q100 FBG (m³/s) | Q2002 - ISL (m³/s) | Q2002 - SIEE (m³/s) | Qref (m³/s) | Choix du débit de référence | |
|--------------------|------------|--|-----------------|--------------------|---------------------------|--------------------|--|-----|
| Le Lyonnais | L2 | Amont de la confluence avec trèsadent | 60 | | 80 | 80 | Les débits 2002 estimés d'après le calage du modèle SIEE sur les PHE sont supérieurs à ceux fournis par la méthode FBG. Ils sont donc retenus. Pas d'estimations ISL. | |
| Le Lyonnais | L3 | Droit passage busé | 63 | | 85 | 85 | | |
| Le Lyonnais | L4 | passage des passerelle des habitations | 65 | | 85 | 85 | | |
| Le Lyonnais | L5 | amont confluenceDabias | 68 | | 90 | 90 | | |
| Le Lyonnais | L6 | aval confluenceDabias = amont confluenceAlzon | 102 | | 135 | 135 | | |
| Valat de Respechas | RES1 | amont du dernier profil | 44 | | | 44 | Sur l'Alzon, dont le Respechas est un affluent, Q2002>Q100. Le débit 2002 sur le Dabais est ainsi estimé d'après l'analyse des débits spécifiques. | |
| Valat de Respechas | RES2 | Au droit de la Poujade | 55 | | Néant - Pas de PHE | 55 | | |
| Valat de Respechas | RES3 | Amont confluence avec l'Alzon | 74 | | | 74 | | |
| Avène | AV1 | limite communale - amont St Florent sur Auzonnet | 115 | | PHE entre AV4 et AV7 | 115 | Les estimations ISL sont surestimées (niveaux d'eau calculés avec le modèle SIEE supérieurs aux NPHE). Les estimations du débit 2002 d'après le calage du modèle SIEE sur les PHE donnent des résultats inférieurs à ceux obtenus par la méthode FBG, qui est donc retenue. | |
| Avène | AV1 | Nœud ISL | 148 | 177 | | | | |
| Avène | AV2 | limite communale -St Florent sur Auzonnet/ Rousson | 174 | | | 174 | | |
| Avène | AV2 | Nœud ISL | 154 | 190 | | | | |
| Avène | AV3 | Pont sous la RD 904 - pont d'Avène | 199 | | | 199 | | |
| Avène | AV4 | amont camping Rousson les Blés | 209 | | | 209 | | |
| Avène | AV3 | Nœud ISL | 186 | 221 | | 186 | | |
| Avène | AV5 | limite communale - Rousson/Salindre | 226 | | | 226 | | |
| Avène | AV4 | Nœud ISL | 218 | 251 | | | | |
| Avène | AV6 | Salindre bourg - Pont sous voie SNCF | 249 | | | 249 | | |
| Avène | AV7 | Salindre bourg - Pont sous la RD 216 | 289 | | | 289 | | |
| Avène | AV5 | Nœud ISL | 388 | 538 | | | | |
| Avène | AV8 | Aval confluence Arias | 432 | | | 432 | | |
| Avène | AV6 | Nœud ISL | 407 | 557 | | | | |
| Avène | AV9 | Aval confluence Merle du Moulin | 466 | 587 | | 466 | | |
| Avène | AV7 | Nœud ISL | 451 | 619 | | | | |
| Avène | AV10 | St Privas des Vieux - Pont sous la RD 6 | 493 | 631 | | 493 | | |
| Avène | AV11 | Aval confluence Rieu | 539 | 710 | | 539 | | |
| Avène | AV8 | Nœud ISL | 516 | 716 | | | | |
| Avène | AV12 | Aval confluence Rieu Bas | 556 | 740 | | | | |
| Avène | AV13 | St Hilaire de Brethmas - Moulin du Juge | 583 | 788 | de 464 (BRL) à 500 (SIEE) | 700 | D'après une étude BRL, le débit de crue 1997 (700m³/s) est supérieur à celui de la crue 2002 et celui calculé par la méthode FBG. Ce débit est donc retenu. Toutefois, les données ne sont pas suffisamment nombreuses pour extrapoler à l'ensemble du bassin versant. | |
| Avène | AV14 | Aval confluence Tribies | 603 | 824 | | | | |
| Avène | AV15 | St Hilaire de Brethmas - Pont sous la RD 280 | 618 | 852 | | | | |
| Avène | AV16 | St Hilaire de Brethmas - Pont sous la RN 106 | 622 | 859 | | | | |
| Avène | AV17 | Confluence Gardon d'Alès | 624 | 863 | | | | |
| Planquettes | VP 1 | | 19 | | Néant | Néant - pas de PHE | Q100 FBG car pas de PHE ni d'estimations ISL. Sur le secteur (BV Avène), les débits spécifiques de 2002 sont inférieurs à ceux obtenus par la méthode FBG. | |
| Planquettes | VP 2 | | 23 | | | | | 23 |
| Planquettes | VP 3 | Confluence Arias | 34 | | | | | 34 |
| Canabias | CA 1 | | 18 | | Néant | Néant - pas de PHE | Q100 FBG car pas de PHE ni d'estimations ISL. Sur le secteur (BV Avène), les débits spécifiques de 2002 sont inférieurs à ceux obtenus par la méthode FBG. | |
| Canabias | CA 2 | | 23 | | | | | 23 |
| Canabias | CA 3 | | 27 | | | | | 27 |
| Canabias | CA 4 | confluence Mazac | 30 | | | | | 30 |
| Mazac (Le Ranquet) | MA 1 | | 8 | | Néant | Néant - pas de PHE | Q100 FBG car pas de PHE ni d'estimations ISL. Sur le secteur (BV Avène), les débits spécifiques de 2002 sont inférieurs à ceux obtenus par la méthode FBG. | |
| Mazac (Le Ranquet) | MA 2 | | 14 | | | | | 14 |
| Mazac (Le Ranquet) | MA 3 | | 19 | | | | | 19 |
| Mazac (Le Ranquet) | MA 4 | | 24 | | | | | 24 |
| Mazac (Le Ranquet) | MA 5 | | 26 | | | | | 26 |
| Mazac (Le Ranquet) | MA 6 | confluence arias | 34 | | | | | 34 |
| Arias amont | AR 1 | | 11 | | Néant - pas de PHE | 11 | Sur le secteur, les débits spécifiques de 2002 sont inférieures à ceux obtenus par la méthode FBG. Les estimations ISL sont surestimés sur l'Avène (niveaux d'eau calculés avec le modèle SIEE supérieurs aux NPHE) et le sont certainement également sur l'Arias. QFBG est donc retenu. | |
| Arias amont | AR 2 | | 35 | | | | | 35 |
| Arias amont | AR 3 | | 61 | | | | | 61 |
| Arias amont | AR 4 | | 77 | | | | | 77 |
| Arias | AR 5 | Aval confluenceValat des Planquettes | 113 | | | | | 113 |
| Arias | AR 6 | pont D364 | 118 | | | | | 118 |
| Arias | AS1 | Nœud ISL | 123 | 154 | | | | |

| Cours d'eau | Nœuds Hyd. | Exutoire | Q100 FBG (m³/s) | Q2002 - ISL (m³/s) | Q2002 - SIEE (m³/s) | Qref (m³/s) | Choix du débit de référence | |
|----------------------------|------------|--|-----------------|--------------------------|--|------------------|--|--|
| Arias | AR 7 | Aval confluence avec le Mazac | 145 | | | 145 | | |
| Arias | AR 8 | tout le BV avec affluents/confluence Avène | 160 | | | 160 | | |
| Le Barthas | BA 1 | | 5 | Néant | Néant - pas de PHE | 5 | Q100 FBG car pas de PHE ni d'estimations ISL. Sur le secteur (BV Avène), les débits spécifiques de 2002 sont inférieurs à ceux obtenus par la méthode FBG. | |
| Le Barthas | BA 2 | | 10 | | | 10 | | |
| Le Barthas | BA 3 | | 17 | | | 17 | | |
| Le Barthas | BA 4 | confluence avec l'Arias | 17 | | | 17 | | |
| Valat d'Avenas | AN 1 | | 16 | Néant | Néant - pas de PHE | 16 | Q100 FBG car pas de PHE ni d'estimations ISL. Sur le secteur (BV Avène), les débits spécifiques de 2002 sont inférieurs à ceux obtenus par la méthode FBG. | |
| Valat d'Avenas | AN 2 | | 24 | | | 24 | | |
| Valat d'Avenas | AN 3 | | 39 | | | 39 | | |
| Valat d'Avenas | AN 4 | confluence Avène | 41 | | | 41 | | |
| Le Mas | MAS 1 | | 27 | Néant | Néant - pas de PHE | 27 | Q100 FBG car pas de PHE ni d'estimations ISL. Sur le secteur (BV Avène), les débits spécifiques de 2002 sont inférieurs à ceux obtenus par la méthode FBG. | |
| Le Mas | MAS 2 | | 34 | | | 34 | | |
| Le Mas | MAS 3 | confluence Avène | 36 | | | 36 | | |
| Valat des Lanes | VL 1 | | 18 | Néant | Néant - pas de PHE | 18 | Q100 FBG car pas de PHE ni d'estimations ISL. Sur le secteur (BV Avène), les débits spécifiques de 2002 sont inférieurs à ceux obtenus par la méthode FBG. | |
| Valat des Lanes | VL 2 | | 26 | | | 26 | | |
| Valat des Lanes | VL 3 | | 30 | | | 30 | | |
| Valat des Lanes | VL 4 | | 38 | | | 38 | | |
| Valat des Lanes | VL 5 | confluence Le Bas Rieu | 54 | | | 54 | | |
| Rieu des Espinaux | RE 1 | | 7 | Néant | Néant - pas de PHE | 7 | Q100 FBG car pas de PHE ni d'estimations ISL. Sur le secteur (BV Avène), les débits spécifiques de 2002 sont inférieurs à ceux obtenus par la méthode FBG. | |
| Rieu des Espinaux | RE 2 | | 14 | | | 14 | | |
| Rieu des Espinaux | RE 3 | | 21 | | | 21 | | |
| Rieu des Espinaux | RE 4 | | 24 | | | 24 | | |
| Rieu des Espinaux | RE 5 | confluence le Bas Rieu | 28 | | | 28 | | |
| Le Rieu | RI 0 | branche du bas | 3 | Néant | PHE entre RI 3 et RI 6 | 3 | Q100 FBG car pas de PHE ni d'estimations ISL. Sur le secteur (BV Avène), les débits spécifiques de 2002 sont inférieurs à ceux obtenus par la méthode FBG. | |
| Le Rieu | RI 1 | branche du haut | 3 | | 3 | | | |
| Le Rieu | RI 2 | confluence des branches | 18 | | 18 | | | |
| Le Rieu | RI 3 | | 24 | | Q2002 = Q100 FBG | | 24 | Les estimations du débit 2002 d'après le calage du modèle SIEE sur les PHE sont équivalentes à celles obtenues par la méthode FBG, qui est donc retenue. |
| Le Rieu | RI 4 | | 32 | | | | 32 | |
| Le Rieu | RI 5 | | 45 | | | | 45 | |
| Le Rieu | RI 6 | | 57 | | | | 57 | |
| Peyraube | PE 1 | | 19 | Néant | Néant - pas de PHE | 19 | Q100 FBG car pas de PHE ni d'estimations ISL. Sur le secteur (BV Avène), les débits spécifiques de 2002 sont inférieurs à ceux obtenus par la méthode FBG. | |
| Peyraube | PE 2 | confluence Avène | 28 | | | 28 | | |
| Valat de Moulinas | VM 1 | RD 280 | 11 | Néant | Néant - pas de PHE | 11 | Q100 FBG car pas de PHE ni d'estimations ISL. Sur le secteur (BV Avène), les débits spécifiques de 2002 sont inférieurs à ceux obtenus par la méthode FBG. | |
| Valat de Moulinas | VM 2 | confluence Avène | 38 | | | 38 | | |
| Ruisseau du ranc | RR 1 | | 9 | Néant | Néant - pas de PHE | 9 | Q100 FBG car pas de PHE ni d'estimations ISL. Sur le secteur (BV Avène), les débits spécifiques de 2002 sont inférieurs à ceux obtenus par la méthode FBG. | |
| Ruisseau du ranc | RR 2 | | 16 | | | 16 | | |
| Ruisseau du ranc | RR 3 | | 20 | | | 20 | | |
| Ruisseau du ranc | RR 4 | | 28 | | | 28 | | |
| lieu dit "la Fenouillette" | RR 5 | confluence Gardon en rive gauche | 39 | | | 39 | | |
| Carriol | CAR1 | Amont dernier profil | 31 | Néant - pas de nœuds ISL | Pas de PHE sur amont - PHE sur aval (RN110 et confluence Gardon) de CAR8 à CAR11 | 31 | Q100 FBG car pas de PHE ni d'estimations ISL. Sur le secteur (BV Carriol), les débits spécifiques de 2002 sont inférieurs à ceux obtenus par la méthode FBG. | |
| Carriol | CAR2 | Portalèse | 55 | | | 55 | | |
| Carriol | CAR3 | amont D246 | 60 | | | 60 | | |
| Carriol | CAR4 | Hauteur de la Tour Billot | 68 | | | 68 | | |
| Carriol | CAR5 | Aval confluence Font Vive | 110 | | | 110 | | |
| Carriol | CAR6 | Droit de la D24 | 110 | | | 110 | | |
| Carriol | CAR7 | Droit de l'Hermasse | 104 | | | 104 | | |
| Carriol | CAR8 | Amont de la confluence avec le Faverol | 143 | | | Q2002 = 135 m³/s | 143 | Les estimations du débit 2002 d'après le calage du modèle SIEE sur les PHE sont légèrement inférieures à celles obtenues par la méthode FBG, qui est donc retenue. |
| Carriol | CAR9 | aval confluence avec Faverol | 193 | | | Q2002 = 180 m³/s | 193 | |
| Carriol | CAR10 | aval confluence Ruisseau Central | 208 | | | Q2002 = 195 m³/s | 208 | |
| Carriol | CAR11 | aval confluence avec rivenzol | 301 | | | Q2002 = 230 m³/s | 301 | |

| Cours d'eau | Nœuds Hyd. | Exutoire | Q100 FBG (m³/s) | Q2002 - ISL (m³/s) | Q2002 - SIEE (m³/s) | Qref (m³/s) | Choix du débit de référence |
|------------------------|------------|---|-----------------|--------------------------|---|-------------|--|
| Carriol | CAR12 | au droit du Mas du Château | 287 | | Pas de PHE | 287 | |
| Font vive | FV1 | amont du dernier profil (à l'amont de Bagard) | 33 | Néant - pas de nœuds ISL | Néant - Pas de PHE | 33 | Q100 FBG car pas de PHE ni d'estimations ISL. Sur le secteur (BV Carriol), les débits spécifiques de 2002 sont inférieurs à ceux obtenus par la méthode FBG. |
| Fontvive | FV2 | amont école primaire | 38 | | | 38 | |
| Fontvive | FV3 | | 39 | | | 39 | |
| Font vive + Combescure | FV4 | aval confluence Combescure et Font Vive | 55 | | | 55 | |
| Combescure | CB1 | Amont du premier profil | 15 | Néant - pas de nœuds ISL | Néant - Pas de PHE | 15 | Q100 FBG car pas de PHE ni d'estimations ISL. Sur le secteur (BV Carriol), les débits spécifiques de 2002 sont inférieurs à ceux obtenus par la méthode FBG. |
| Combescure | CB2 | RD910 | 19 | | | 19 | |
| Combescure | CB3 | Tour de Billot | 21 | | | 21 | |
| Faverol | FAV 1 | Profil amont | 18 | Néant - pas de nœuds ISL | Néant - Pas de PHE sur amont avant FAV 5 | 20 | Les estimations du débit 2002 d'après le calage du modèle SIEE sur les PHE sont supérieures à celles obtenues par la méthode FBG. Le débit 2002 SIEE est donc retenu. |
| Faverol | FAV 2 | Droit route RD940 | 37 | | | 40 | |
| Faverol | FAV 3 | Traversée de la RD24 | 37 | | | 41 | |
| Faverol | FAV 4 | Traversée voirie | 44 | | | 48 | |
| Faverol | FAV 5 | aval confluence aff Faverol | 66 | | | 83 | |
| Faverol | FAV 6 | Traversée RN110 | 65 | | | 83 | |
| Faverol | FAV 7 | Confluence Carriol | 67 | | | 83 | |
| Af Faverol | AFA 1 | Profil amont | 9 | Néant - pas de nœuds ISL | Néant - Pas de PHE | 9 | Q100 FBG car pas de PHE ni d'estimations ISL. |
| Af Faverol | AFA 2 | Atel | 13 | | | 13 | |
| Af Faverol | AFA 3 | amont confluence Faverol | 26 | | | 26 | |
| Cave | CAV1 | Profil amont | 25 | Néant - pas de nœuds ISL | Néant - Pas de PHE | 25 | Q100 FBG car pas de PHE ni d'estimations ISL. |
| Cave | CAV2 | amont confluence | 28 | | | 28 | |
| Ruisseau Central | CEN 1 | Profil amont | 13 | Néant - pas de nœuds ISL | Néant - Pas de PHE | 13 | Q100 FBG car pas de PHE ni d'estimations ISL. |
| Ruisseau Central | CEN2 | Confluence1 | 17 | | | 17 | |
| Ruisseau Central | CEN3 | Amont confluence Cave | 26 | | | 26 | |
| Ruisseau Central | CEN4 | lotissement Vermeillet | 51 | | | 51 | |
| Ruisseau Central | CEN5 | | 61 | | | 61 | |
| Ruisseau Central | CEN6 | Amont Confluence Faverol | 68 | | | 68 | |
| Paramel | PAR1 | Profil amont | 9 | Néant - pas de nœuds ISL | Pas de PHE - PHE la plus proche située à l'aval du Rivenzol | 9 | Q100 FBG car pas de PHE ni d'estimations ISL. |
| Paramel | PAR2 | au droit RD 24 | 28 | | | 28 | |
| Paramel | PAR3 | Mas Julien | 35 | | | 35 | |
| Paramel | PAR4 | à l'amont de la confluence avec le Rivenzol | 50 | | | 50 | |
| Rivenzol | RIV1 | Profil amont | 9 | | unique PHE sur RIV4 | 9 | L'estimation ISL semble surestimée (niveaux d'eau calculés avec le modèle SIEE supérieurs aux NPHE). Les estimations du débit 2002 d'après le calage du modèle SIEE sur les PHE sont inférieures à celles obtenues par la méthode FBG, qui est donc retenue. |
| Rivenzol | RIV2 | amont confluence Paramel | 22 | | | 22 | |
| Rivenzol | RIV3 | aval confluence Paramel | 61 | | | 61 | |
| Rivenzol | CL1 | Nœud ISL - vers RIV4 | 63 | 98 | ISL semble surestimé | - | |
| Rivenzol | RIV4 | RN110 = confluence Carriol | 70 | | 65 | 70 | |
| Gardoussel | GDS1 | Amont traversée de la route | 22 | | Néant - Pas de PHE | 22 | Q100 FBG car pas de PHE ni d'estimations ISL. |
| Gardoussel | GDS2 | Amont confluence | 28 | 28 | | | |



Localisation des noeuds de calculs hydrologiques

- Noeuds de calculs
- Noeuds ISL

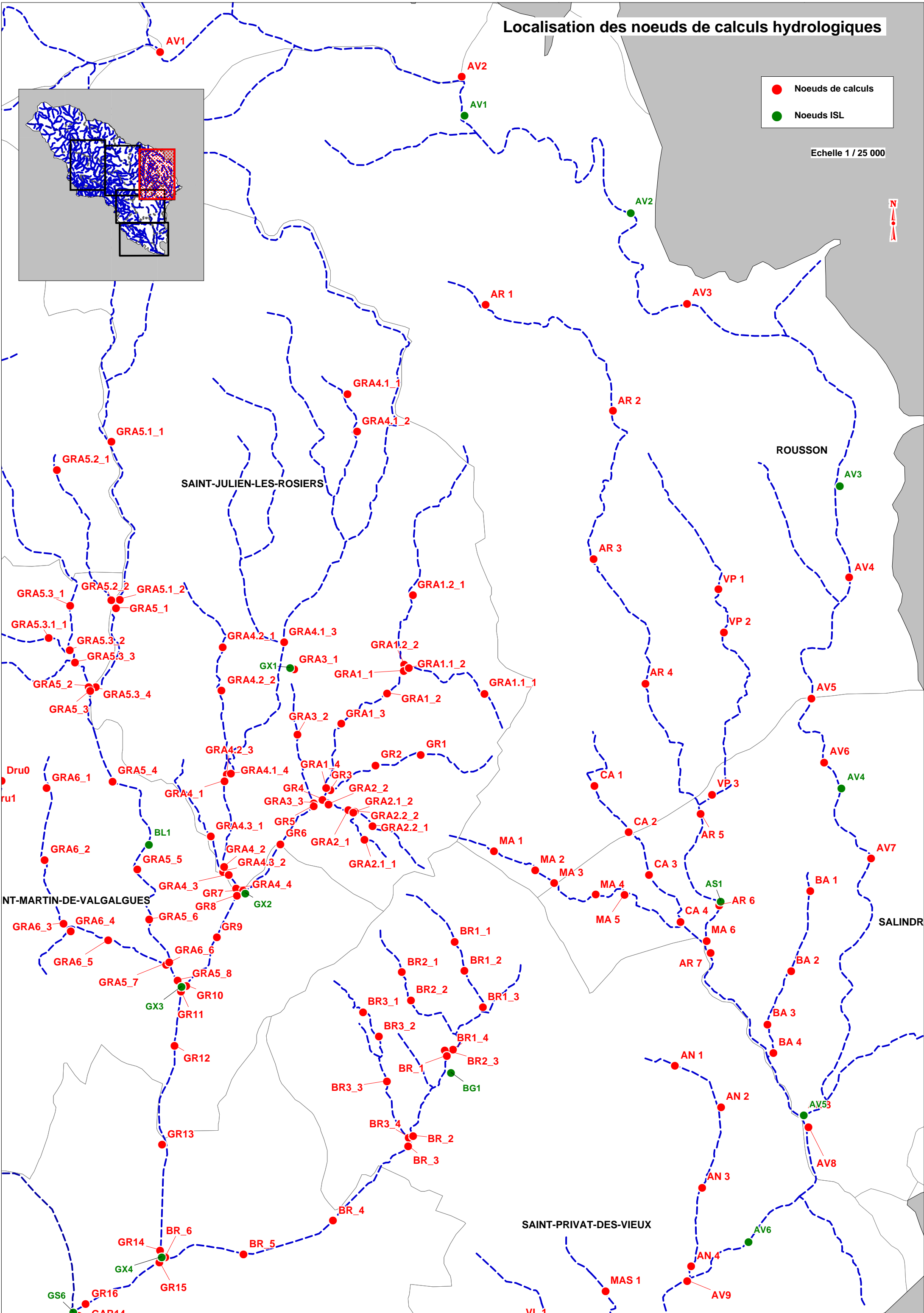
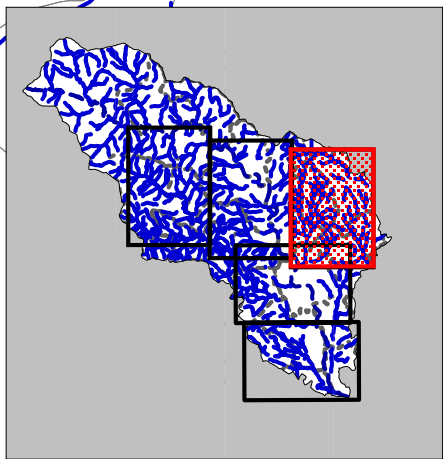
Echelle 1 / 25 000



Localisation des noeuds de calculs hydrologiques

- Noeuds de calculs
- Noeuds ISL

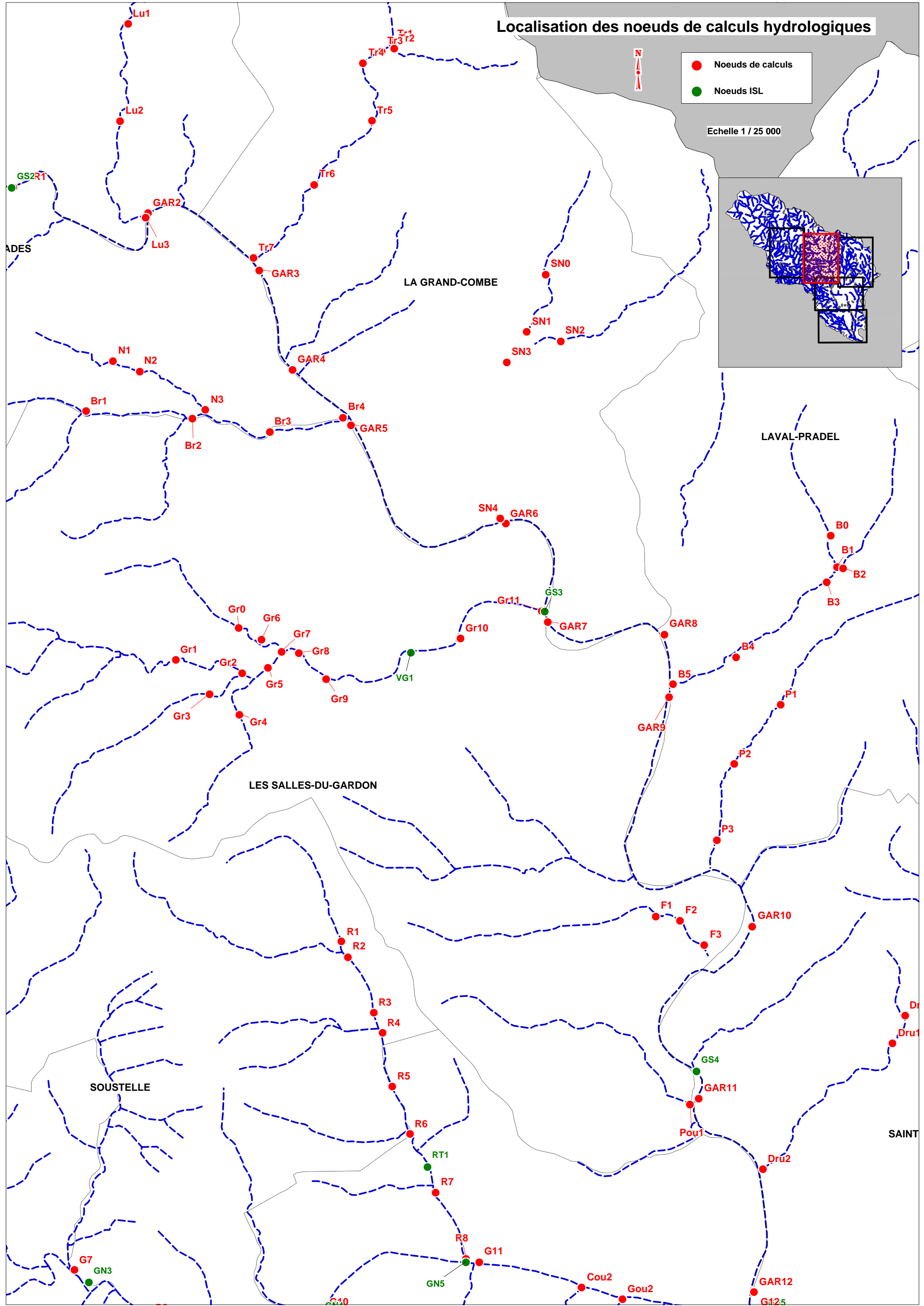
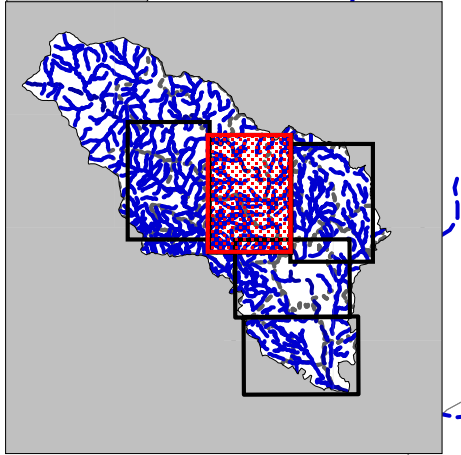
Echelle 1 / 25 000



Localisation des noeuds de calculs hydrologiques

- Noeuds de calculs
- Noeuds ISL

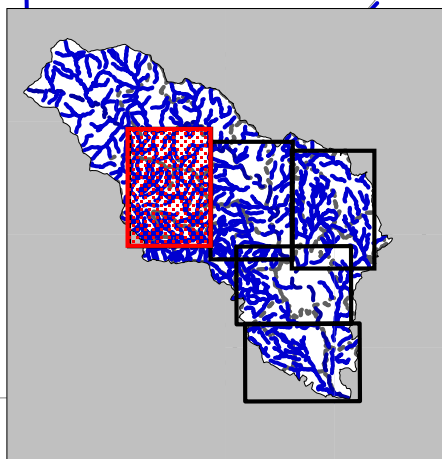
Echelle 1 / 25 000



Localisation des noeuds de calculs hydrologiques

- Noeuds de calculs
- Noeuds ISL

Echelle 1 / 25 000



BRANOUX-LES-TAILLAD

LAMELOUZE

SAINT-MARTIN-DE-BOUBAUX

G1

G2

G3

S1

S2

S3

S4

G4

G5

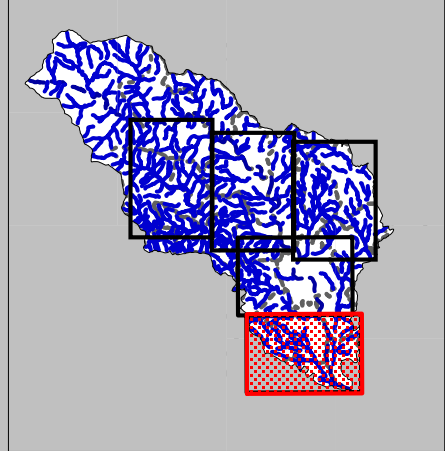
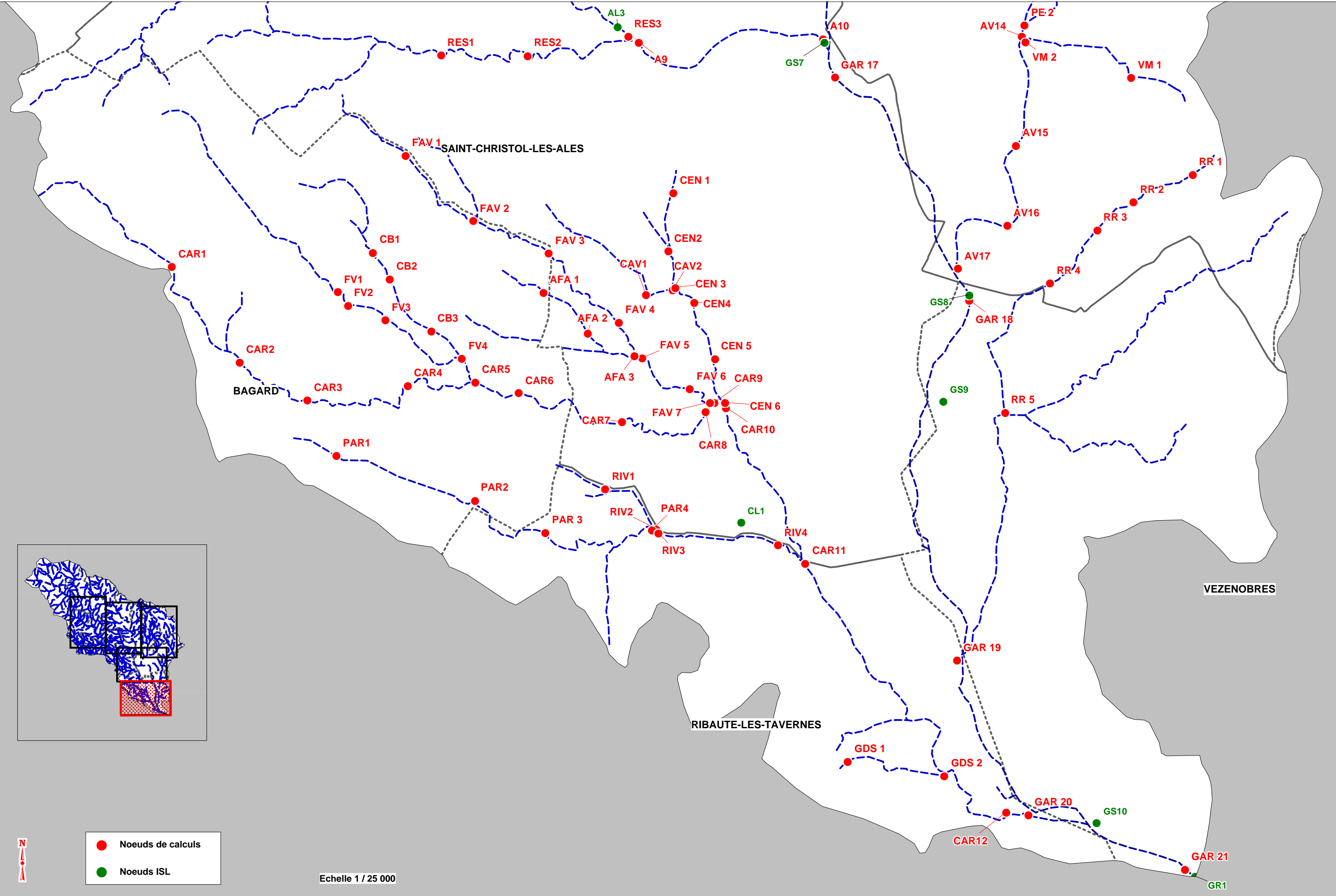
G6

GN1

GN2

SCA





- Noeuds de calculs
- Noeuds ISL

Echelle 1 / 25 000

Localisation des noeuds de calculs hydrologiques